

Ю. А. Николаев

ОБОБЩЕННАЯ МОДЕЛЬ КИНЕТИКИ ХИМИЧЕСКИХ РЕАКЦИЙ В ВОДОРОДНО-КИСЛОРОДНЫХ ГАЗОВЫХ СМЕСЯХ

На основе рассмотрения модельного газа построена содержащая два уравнения обобщенная модель кинетики химических реакций, удовлетворительно «сквозным» образом описывающая все течение реакций в газовых смесях на основе водорода и кислорода в широком диапазоне давлений и температур.

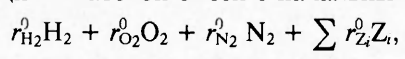
Развитие численных методов расчета процессов детонации и горения стимулировало создание простых моделей кинетики химических реакций, включающих одно или два уравнения. Высокие температуры в зоне реакции за детонационными волнами (ДВ) позволили разделить реакцию на два этапа: изотермический период индукции, включающий в себя цепное размножение активных центров, и последующее тепловыделение. В [1—4] построена модель кинетики, хорошо описывающая период основного тепловыделения и последующее квазиравновесное течение химических реакций. Период индукции, как правило, описывается формулами типа аррениусовских, выбор констант в которых достаточно проблематичен. Это связано с большими расхождениями в значениях задержки воспламенения, рассчитанных по формулам различных авторов [5—7].

Разбиение реакции на два этапа не всегда возможно даже для ДВ. Например, в близких к пределу режимах детонации (галопирующий режим) при критическом инициировании детонации или при «срыве» реакции в ячейке многофронтовой детонации температура за фронтом ударной волны может падать ниже температуры самовоспламенения. Для описания таких процессов нужны другие подходы.

В данной работе построена приближенная модель кинетики, «сквозным» образом описывающая период индукции и тепловыделения как при высоких, так и при низких температурах.

Общие закономерности течения реакции

Рассмотрим реакции в газовой смеси с начальным составом I:



где Z_i — символы инертных веществ. По определению мольных долей $r_{\text{H}_2}^0 + r_{\text{O}_2}^0 + r_{\text{N}_2}^0 + \sum_i r_{\text{Z}_i}^0 = 1$. Основными продуктами будем полагать O, H, O₂, OH, H₂, H₂O, N₂, Z_i (как показали предварительные численные оценки, обобщенная модель, построенная без рассмотрения влияния HO₂ и H₂O₂, тем не менее удовлетворительно описывает пределы воспламенения). В такой смеси могут протекать реакции:

- | | |
|----------------------------------------------------------------|-------------------------------------------------------------------|
| 0. H ₂ + O ₂ $\not\rightarrow$ OH + OH, | 5. O + O + M $\not\rightarrow$ O ₂ + M, |
| 1. OH + H ₂ $\not\rightarrow$ H ₂ O + H, | 6. O + H + M $\not\rightarrow$ OH + M, |
| 2. H + O ₂ $\not\rightarrow$ OH + O, | 7. O + H ₂ + M $\not\rightarrow$ H ₂ O + M, |
| 3. O + H ₂ $\not\rightarrow$ OH + H, | 8. H + OH + M $\not\rightarrow$ H ₂ O + M. |
| 4. H + H + M $\not\rightarrow$ H ₂ + M, | |

В [1] отмечалось, что основной вклад в тепловыделение вносят реакции 4—8, тепловые эффекты и скорости прямых реакций для которых примерно равны между собой. Реакции 0—3 при высоких температурах в начальные моменты времени определяют период индукции, а после его завершения ведут себя квазиравновесно.

© Ю. А. Николаев, 1994.

Второй предел воспламенения определяется соотношением скоростей реакций обмена 0—3, поставляющих активные центры, и скоростью гибели активных центров в объеме за счет реакций рекомбинации типа 4—8. Первый предел воспламенения определяется гибелю активных центров на стенке сосуда, а третий — теплоотводом от смеси, активными центрами в которой являются Н, О и OH.

Рассмотрим начальную стадию цепной реакции, описываемой уравнениями прямых реакций 0—3 при «замороженных» концентрациях O₂ и H₂ и постоянных p и T . Решая соответствующую систему линейных дифференциальных уравнений и при не очень малых временах пренебрегая невозрастающими слагаемыми, получим

$$r_O + r_H = r_{H_2}^0 \frac{k_{+0}}{k_{+2}} \frac{1 + \lambda + \Omega_{+3}}{\Omega_{+3}} \frac{2 \exp\left(\lambda k_{+2} \frac{\rho}{\mu} r_{O_2}^0 t\right)}{4 + \frac{\lambda^3}{\Omega_{+1} \Omega_{+3}} - \lambda}, \quad (1)$$

где $\Omega_{+1} = \frac{k_{+1} r_{H_2}^0}{k_{+2} r_{O_2}^0}$; $\Omega_{+3} = \frac{k_{+3} r_{H_2}^0}{k_{+2} r_{O_2}^0}$; k_{+i} — константы скоростей i -х реакций; ρ — плотность газа; λ — положительный корень уравнения

$$\lambda^3 + (\Omega_{+1} + \Omega_{+3} + 1) \lambda^2 + \Omega_{+1} \Omega_{+3} (\lambda - 2) = 0, \quad (2)$$

который с точностью до 16 % может быть определен по упрощенной формуле:

$$\lambda \approx \frac{(8\Omega_{+1}\Omega_{+3})^{0.5}}{1 + (1 + 2\Omega_{+1}\Omega_{+3} + 4\Omega_{+1} + 4\Omega_{+3})^{0.5}} < 2$$

(за основу взяты следующие значения констант скоростей реакций [8]: $k_{+0} = 5 \cdot 10^{-4} \sqrt{T} e^{-40/RT}$, $k_{+1} = 7 \cdot 10^{-2} \sqrt{T} e^{-10/RT}$, $k_{+2} = 3,2 \cdot 10^{-2} \sqrt{T} e^{-15/RT}$, $k_{+3} = 2 \cdot 10^{-3} \sqrt{T} e^{-6/RT}$, где энергии активации имеют размерность ккал/моль).

Решая неоднородную задачу с нулевыми начальными концентрациями активных центров при $t \gg 1/(k_{+2} [\bar{O}_2])$ по крайней мере для не слишком обедненных водородом смесей и при не очень высоких температурах, получим

$$\frac{[OH]}{[H]} \approx \frac{k_{+2} [\bar{O}_2]}{k_{+1} [\bar{H}_2]} \left(1 + \frac{2}{1 + (1 + 8\Omega_{+3})^{0.5}} \right) < \frac{k_{+2} [\bar{O}_2]}{k_{+1} [\bar{H}_2]} \approx e^{-\xi/RT} \ll 1.$$

Легко проверить, что эта оценка будет верна и при ненулевых начальных концентрациях активных центров. Малость концентрации OH позволяет общее число активных центров полагать равным $[O] + [H] = [A_1]$, т. е. одноатомные водород и кислород будем называть обобщенными активными центрами A₁.

В связи с большой скоростью реакции 1 можно полагать, что нулевая реакция производит непосредственно обобщенные активные центры. Тогда обобщенное уравнение

$$\frac{dr_{A_1}}{dt} = 2k_{+0} \frac{\rho}{\mu} r_{H_2}^0 r_{O_2}^0 + r_{A_1}^0 \lambda_1 k_{+2} \frac{\rho}{\mu} r_{O_2}^0 \quad (3)$$

будет описывать зарождение и цепное размножение активных центров практически не хуже, чем система прямых реакций 0—3.

Определим период индукции как промежуток времени, после которого течение реакций обмена можно полагать квазиравновесным. Максимум концентрации активных центров в конце периода индукции определяется в основном обратными реакциями 2 и 3, суммарная скорость которых пропорциональна произведению $[OH] r_{A_1}$. Реакция 1 становится квазиравновесной значительно раньше, и к концу периода индукции можно полагать:

$$[OH] \sim ([H_2O] [H])^{0.5} \sim ([H_2O] r_{A_1})^{0.5}.$$

Таким образом, при создании «сквозной» модели из правой части (3) следует вычесть скорость обобщенной обратной реакции, пропорциональной

$[H_2O]^{0.5} (r_{A_1})^{1.5}$. Формально следует учесть и реакцию, обратную обобщенной реакции зарождения активных центров.

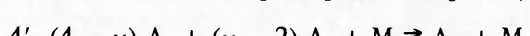
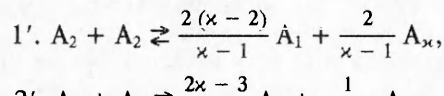
Гибель активных центров в объеме (и обратный ей процесс) можно описать обобщенными членами путем введения средних скоростей рекомбинации (диссоциации) подобно [1—4]. Так же как в [1], можно описать процесс изменения молекулярной массы и внутренней энергии. Слагаемым в (3) можно учесть гибель активных центров на стенке сосуда. На основе этих рассуждений можно конструировать приближенные уравнения. Однако это здесь не делается, а вводится в рассмотрение модельный газ, точные уравнения кинетики для которого будут играть роль приближенных для реального газа и отражать все описанные выше закономерности.

Модельный газ

При идентификации модельного газа с каким-либо реальным достаточно проанализировать лишь входящие в газодинамические уравнения макропараметры смеси — полную внутреннюю энергию U и молекулярную массу μ . Причем уравнения, аппроксимирующие изменения этих величин, не должны противоречить законам сохранения и второму началу термодинамики или их формальным аналогам.

Введем в рассмотрение формальные одно-, двух-, трех- и x -атомные газы A_1 , A_2 , A_3 и A_x , состоящие из атомов типа А, причем $2 \leq x \leq 3$. Газ A_x в дальнейшем будет идентифицироваться с некоторой смесью двух- и трехатомных газов, взятых в соотношении $(3 - x) : (x - 2)$.

Пусть в смеси формальных газов A_1 , A_2 , A_3 и A_x с азотом N_2 и инертными веществами Z_k : $r_{A_1}A_1 + r_{A_2}A_2 + r_{A_x}A_x + r_{N_2}N_2 + \sum_k r_{Z_k}Z_k$, $r_{A_1} + r_{A_2} + r_{A_x} + \sum_k r_{Z_k} = 1$ возможны реакции



Азот полагается нереагирующим. Первую реакцию можно интерпретировать как зарождение активных центров A_1 , вторую — как размножение активных центров по цепному механизму, третью и четвертую — как рекомбинацию или гибель активных центров в объеме. Конечный продукт брутто-реакции — A_x . Молекулярная масса смеси может быть рассчитана по формуле $\mu = \mu_{A_1}(r_{A_1} + 2r_{A_2} + xr_{A_x}) + \mu_{N_2}r_{N_2} + \sum_i \mu_{Z_i}r_{Z_i}$.

Из уравнений атомарного баланса следует, что величины $\mu_{\min} = \mu/[1 + r_{A_2} + (x-1)r_{A_x}]$, $\mu_{\max} = \mu/[1 - \frac{x-1}{x}r_{A_1} - \frac{x-2}{x}r_{A_2}]$, r_{N_2}/μ и r_{Z_i}/μ не меняются в ходе реакций. Величины μ_{\min} и μ_{\max} соответствуют минимально и максимально возможным молекулярным массам смеси, достижаемым в предельно диссоциированном ($r_{A_2} = r_{A_x} = 0$) и предельно рекомбинированном ($r_{A_2} = r_{A_1} = 0$) состояниях.

Полную внутреннюю энергию (включающую химическую потенциальную энергию) A_1 , A_2 и A_3 представим в виде [9]

$$U_{A_i} = n_{A_i}RT + m_{A_i} \frac{R\Theta_{A_i}}{e^{\Theta_{A_i}/T} - 1} - D_{A_i}, \quad (4)$$

где $i = 1, 2, 3$; $n_{A_1} = 1.5$; $n_{A_2} = 2.5$; $n_{A_3} = 3$; $m_{A_1} = 0$; $D_{A_1} = 0$. Величины D_{A_2} и D_{A_3} равны энергиям диссоциации молекул A_2 и A_3 на атомы, Θ_{A_i} и m_{A_i} — характеристические температуры возбуждения и число колебательных

степеней свободы. В пределах точности модели допустимо внутренние энергии азота и инертных газов описывать аналогичными формулами, при этом $D_{N_2} = D_{Z_4} = m_{Z_4} = 0$, $n_{Z_4} = 1,5$, $n_{N_2} = 2,5$, $m_{N_2} = 1$, $\Theta_{N_2} = 3340$ К.

Полную внутреннюю энергию формального газа A_x представим в виде

$$U_{A_x} = (3 - x) U_{A_2} + (x - 2) U_{A_3}. \quad (5)$$

Тогда полная внутренняя энергия смеси будет описываться выражением

$$U = r_{A_1} U_{A_1} + [r_{A_2} + (3 - x) r_{A_x}] U_{A_2} + (x - 2) r_{A_x} U_{A_3} + r_{N_2} U_{N_2} + \sum_i r_{Z_i} U_{Z_i}. \quad (6)$$

Газовую смесь полагаем идеальным газом: $p/\rho = RT/\mu$.

Соответствующие модельной системе реакций точные уравнения кинетики запишем в виде системы двух уравнений относительно r_{A_1} и μ :

$$\begin{aligned} \frac{dr_{A_1}}{dt} &= \frac{2(x-2)}{x-1} W_1 \frac{\rho}{\mu} \left(r_{A_2} - K_{p1} r_{A_1}^{\frac{2(x-2)}{x-1}} r_{A_x}^{\frac{2}{x-1}} \right) + \\ &+ \frac{x-2}{x-1} W_2 \frac{\rho}{\mu} \left(r_{A_1} r_{A_2} - K_{p2} r_{A_1}^{\frac{2x-3}{x-1}} r_{A_x}^{\frac{1}{x-1}} \right) - \\ &- (2 - r_{A_1}) W_3 \frac{\rho^2}{\mu^2} \left(r_{A_1}^2 - \frac{K_{p3}}{\rho} r_{A_2} \right) - \\ &- (4 - x - r_{A_1}) W_4 \frac{\rho^2}{\mu^2} \left(r_{A_1}^{4-x} r_{A_2}^{x-2} - \frac{K_{p4}}{\rho} r_{A_x} \right) + \frac{r_{A_1}}{\mu} \frac{d\mu}{dt}, \end{aligned} \quad (7)$$

$$\frac{d\mu}{dt} = W_2 \frac{\rho^2}{\mu} \left(r_{A_1}^2 - \frac{K_{p3}}{\rho} r_{A_2} \right) + W_4 \frac{\rho^2}{\mu} \left(r_{A_1}^{4-x} r_{A_2}^{x-2} - \frac{K_{p4}}{\rho} r_{A_x} \right). \quad (8)$$

Величины r_{A_2} , r_{A_x} , r_{N_2} и r_{Z_4} могут быть выражены через r_{A_1} и μ :

$$\begin{aligned} r_{A_2} &= \frac{x}{x-2} \left(1 - \frac{\mu}{\mu_{\max}} - \frac{x-1}{x} r_{A_1} \right), \\ r_{A_x} &= \frac{1}{x-1} \left(\frac{\mu}{\mu_{\min}} - 1 - r_{A_2} \right), \\ r_{N_2} &= \frac{\mu}{\mu_0} - r_{N_2}^0, \quad r_{Z_4} = \frac{\mu}{\mu_0} r_{Z_4}^0, \end{aligned} \quad (9)$$

где μ_0 , $r_{N_2}^0$, $r_{Z_4}^0$ — молекулярная масса и относительные концентрации азота и инертных веществ в начальном состоянии смеси соответственно.

Из второго начала термодинамики, конкретно из условия минимальности термодинамического потенциала в условиях химического равновесия при заданных p и T , следует, что представление внутренней энергии компонентов смеси с точностью до множителя определяет зависимость констант равновесия K_{p_j} реакций от температуры (закон действующих масс):

$$K_{p_j} = e^{\sum_i v_{ij} \xi_i} p_*^i \left(\frac{T}{T_*} \right)^{\sum_i v_{ij}} e^{\sum_i v_{ij} \frac{1}{R} \int_{T_*}^T \frac{dT}{T^2}},$$

где v_{ij} — стехиометрические коэффициенты веществ i в реакции j ; ξ_i — химические постоянные веществ; p_* , T_* — произвольные постоянные давление и температура, служащие для обезразмеривания химических постоянных. Применив эту формулу к модельной системе реакций и полагая без ограничения общности $\zeta_{A_1} = 0$, получим

$$\begin{aligned} K_{p2} &= e^{\xi_{A_2} - \frac{1}{x-1} \xi_{A_x}} \left[\left(\frac{T}{T_*} \right)^{0.5} \frac{\left\{ 1 - \exp \left(-\frac{\Theta_{A_2}}{T} \right) \right\}^{-2m_2}}{\left\{ 1 - \exp \left(-\frac{\Theta_{A_2}}{T_*} \right) \right\}} \times \right. \\ &\times \left. \exp \left\{ \frac{2D_{A_2} - D_{A_3}}{RT} \left(1 - \frac{T}{T_*} \right) \right\} \right]^{\frac{x-2}{x-1}}, \end{aligned} \quad (10)$$

$$K_{p3} = e^{-\xi_{A2}} p_* \left(\frac{T}{T_*} \right)^{1.5} \left\{ \frac{1 - \exp \left(-\frac{\Theta_{A2}}{T} \right)}{1 - \exp \left(-\frac{\Theta_{A2}}{T} \right)} \right\}^{m^2} \exp \left\{ -\frac{D_{A2}}{RT} \left(1 - \frac{T}{T_*} \right) \right\},$$

$$K_{p1} = K_{p2}^2, \quad K_{p4} = K_{p3} K_{p2}^{x-1}.$$

По аналогии с представлением энергии положим:

$$\xi_{Ax} = (3 - x) \xi_{A2} + (x - 2) \xi_{A3}. \quad (11)$$

Таким образом, модель кинетики для формального газа сводится к уравнениям (7) и (8) относительно r_{A1} и μ и формулам (4)–(6), (9)–(11), с помощью которых можно рассчитать эволюцию всех концентраций и внутренней энергии. Идентификация с реальным газом может быть осуществлена путем подбора постоянных величин x , μ_{min} , μ_{max} , m_{A2} , m_{A3} , Θ_{A2} , Θ_{A3} , D_{A2} , D_{A3} , ξ_{A2} , ξ_{A3} , p_* , T_* , констант скоростей реакций W_1 , W_2 , W_3 , W_4 и значений μ_0 , r_{A1}^0 , r_{N2}^0 , r_{Z4}^0 .

Идентификация модельного газа с водородно-кислородной смесью

Рассмотрим водородно-кислородную смесь с добавками азота и инертных газов, которая в исходном (или условно исходном) состоянии имела состав I. Этот состав характеризуется константами: показателем стехиометрии $\alpha = \frac{r_{H2}^0}{2r_{O2}^0}$ и молекулярными массами в исходном, предельно диссоциированном и предельно рекомбинированном состояниях:

$$\mu_0 = r_{H2}^0 \mu_{H2} + r_{O2}^0 \mu_{O2} + r_{N2}^0 \mu_{N2} + \sum_i r_{Zi}^0 \mu_{Zi},$$

$$\mu_{min} = \mu_0 / (1 + r_{H2}^0 + r_{O2}^0),$$

$$\mu_{max} = \min [\mu_0 / (1 - r_{O2}^0), \mu_0 / (1 - 0.5r_{H2}^0)].$$

Здесь, как и ранее, азот предполагается нереагирующим. Отметим, что

$$\frac{r_{H2}^0}{r_{H2}^0 + r_{O2}^0} = \frac{2\alpha}{2\alpha + 1}, \quad \frac{r_{O2}^0}{r_{H2}^0 + r_{O2}^0} = \frac{1}{2\alpha + 1}.$$

Чтобы величины μ_0 , μ_{min} и μ_{max} в реальном и модельном газах совпадали, необходимо положить:

$$\mu_{A1} = \frac{1}{2} \left(\frac{r_{H2}^0 \mu_{H2} + r_{O2}^0 \mu_{O2}}{r_{H2}^0 + r_{O2}^0} \right) = \frac{1}{2} \left(\frac{2\alpha}{2\alpha + 1} \mu_{H2} + \frac{1}{2\alpha + 1} \mu_{O2} \right),$$

$$x = 2 + \min \left(\frac{1}{\alpha}, \frac{2\alpha}{\alpha + 1} \right), \quad (12)$$

$$r_{A2}^0 = r_{H2}^0 + r_{O2}^0, \quad r_{A1}^0 = r_{A_x}^0 = 0.$$

Чтобы совпадали химические потенциальные энергии реального и модельного газов в исходном, предельно диссоциированном и предельно рекомбинированном состояниях, необходимо положить

$$D_{A2} = \frac{2\alpha}{2\alpha + 1} D_{H2} + \frac{1}{2\alpha + 1} D_{O2}, \quad D_{A3} = D_{H2O} + \frac{\alpha - 1}{2\alpha + 1} [D_{H2} - D_{O2}]. \quad (13)$$

Для справки приведем значения энергий диссоциации [10]: $D_{H2} = 432,068$ кДж/моль, $D_{O2} = 493,566$ кДж/моль, $D_{H2O} = 917,764$ кДж/моль. Внутренние энергии водорода, кислорода и воды с точностью ~2 % описываются формулами типа (4), при этом [9–11] $n_{H2} = n_{O2} = 2,5$, $n_{H2O} = 3$,

$m_{O_2} = m_{H_2} = 1,5$, $m_{H_2O} = 3,3$, $\Theta_{H_2} = 6200$ К, $\Theta_{O_2} = 3300$ К, $\Theta_{H_2O} = 4000$ К.
Логично положить

$$\begin{aligned} m_{A_2} &= 1,5, \quad m_{A_3} = 3,3, \quad n_{A_2} = 2,5, \quad n_{A_3} = 3, \\ \Theta_{A_2} &= \frac{2\alpha}{2\alpha + 1} \Theta_{H_2} + \frac{1}{2\alpha + 1} \Theta_{O_2}, \quad \Theta_{A_3} = \Theta_{H_2O}. \end{aligned} \quad (14)$$

Как показывают численные оценки, такое представление характеристической температуры приводит к погрешности вычисления колебательной энергии не более 4 %.

Аппроксимируя константы равновесия реакций $2O \rightleftharpoons O_2$, $2H \rightleftharpoons H_2$, $O + 2H \rightleftharpoons H_2O$ с помощью формул (10) и для увеличения точности выбирая значения $p_* = 1$ атм, $T_* = 4000$ К, при которых все концентрации имеют один порядок величины, получим $\xi_O = \xi_{H_2} = 0$, $\xi_{O_2} = 0,78$, $\xi_{H_2} = 0,92$, $\xi_{H_2O} = 0,71$. Тогда для модельного газа при сохранении указанных значений p_* и T_* положим

$$\xi_{A_2} = \frac{2\alpha}{2\alpha + 1} \xi_{H_2} + \frac{1}{2\alpha + 1} \xi_{O_2}, \quad \xi_{A_3} = \xi_{H_2O}. \quad (15)$$

Период индукции (зарождение и размножение активных центров) при высоких температурах в водородно-кислородной смеси в основном определяется прямыми реакциями 0—3.

Для модельного газа период индукции при высоких температурах описывается реакциями 1' и 2'. Для не очень малых t имеем

$$r_{A_1} = r_{A_2}^0 \frac{2W_1}{W_2} \exp \left(\frac{x-2}{x-1} W_2 \frac{\rho}{\mu} r_{A_2}^0 t \right).$$

Идентифицируя r_{A_1} с суммой $r_H + r_O$ (формула (1)), получим

$$W_2 = \frac{x-1}{x-2} k_{+2} \frac{\lambda}{2\alpha + 1}, \quad (16)$$

$$\bar{W}_1 = \frac{x-1}{x-2} k_{+0} \frac{1 + \lambda + \Omega_{+3}}{\Omega_{+3}} \frac{2\lambda}{4 + \frac{\lambda^3}{\Omega_{+1}\Omega_{+3}} - \lambda (2\alpha + 1)^2}.$$

Рекомбинация одноатомных веществ в реальном газе идет за счет прямых реакций 4—6. Скорость этих реакций можно описать уравнением

$$\frac{d \frac{\rho}{\mu} (r_O + r_H)}{dt} = -2 \frac{\rho^2}{\mu^2} (k_{+4} r_H^2 + k_{+5} r_O r_H + k_{+6} r_O^2). \quad (17)$$

При большой степени диссоциации ($\mu \approx \mu_{\min}$)

$$r_H \approx \frac{2\mu_{\min}}{\mu_0} r_{H_2}, \quad r_O \approx \frac{2\mu_{\min}}{\mu_0} r_{O_2}. \quad (18)$$

В тех же условиях для модельного газа

$$r_{A_1} \approx \frac{2\mu_{\min}}{\mu_0} r_{A_2}^0, \quad \frac{d \frac{\rho}{\mu} r_{A_1}}{dt} = -2 \frac{\rho^2}{\mu^2} W_3 r_{A_1}^2. \quad (19)$$

Сравнивая (17), (18) и (19), получим

$$W_3 = \frac{1}{(2\alpha + 1)^2} (4\alpha^2 k_{+4} + 2\alpha k_{+5} + k_{+6}). \quad (20)$$

Скорость производства A_1 за счет диссоциации H_2O пропорциональна $(k_{-7} + k_{-8}) r_{H_2O}$ или $(4 - x) W_{-4} r_{A_2} = W_{-4} r_{A_3} (4 - x)/(x - 2)$. Отсюда $W_4 = W_{-4} p \mu / \rho K_{p4} = (k_{-7} + k_{-8}) (x - 2) p \mu / (4 - x) \rho K_{p4}$.

Таким образом, обобщенная модель кинетики включает уравнения (7) и (8) относительно r_{A_1} и μ и соотношения (2), (4)—(6), (9)—(16), (20), с помощью которых можно рассчитать эволюцию остальных обобщенных

концентраций и внутренней энергии смеси во времени. При высоких температурах, когда реакции обмена выходят на квазиравновесие, предложенная обобщенная модель позволяет рассчитывать и реальные концентрации реагирующих компонентов ([1]).

ЛИТЕРАТУРА

1. Николаев Ю. А. Модель кинетики химических реакций при высоких температурах // ФГВ.— 1978.— 14, № 1.— С. 73—76.
2. Николаев Ю. А., Фомин П. А. О расчете равновесных течений химически реагирующих газов // Там же.— 1982.— 18, № 1.— С. 66—72.
3. Николаев Ю. А., Фомин П. А. Приближенное уравнение кинетики в гетерогенных системах типа газ — конденсированная фаза // Там же.— 1983.— 19, № 6.— С. 49—58.
4. Николаев Ю. А., Зак Д. В. Согласование моделей химических реакций в газах со вторым началом термодинамики // Там же.— 1988.— 24, № 4.— С. 87—90.
5. White D. R. Density induction times in very lean mixtures of D₂, H₂, C₂H₂ and C₂H₄ with O₂ // 11th Symp. (Int.) on Combustion. The Combust. Inst.— 1967.— Р. 147—154.
6. Солоухин Р. И. Ударные трубы для физико-химических исследований.— Новосибирск: Наука, 1966.
7. Strehlow R. A., Mauer R. E., Rajan S. Transverse waves in detonation: 1. Spacing in the hydrogen-oxygen systems // AIAA J.— 1969.— 7, N 2.— Р. 323—328.
8. Щетинков Е. С. Физика горения газов.— М.: Наука, 1965.
9. Ландау Л. Д., Лифшиц Е. М. Статистическая физика.— М.: Наука, 1964.
10. Термодинамические свойства индивидуальных веществ/Под ред. В. П. Глушко.— М.: Наука, 1978.— Т. 1, кн. 2.
11. Зельдович Я. Б., Райз器 Ю. П. Физика ударных волн и высокотемпературных гидродинамических явлений.— М.: Наука, 1966.

630090, г. Новосибирск,
Институт гидродинамики
им. М. А. Лаврентьева СО РАН

Поступила в редакцию 22/1 1993,
после доработки — 8/VI 1993

УДК 536.46

Д. А. Гарколь, П. Ю. Гуляев, В. В. Евстигнеев,
А. Б. Мухачев

НОВАЯ МЕТОДИКА ВЫСОКОСКОРОСТНОЙ ЯРКОСТНОЙ ПИРОМЕТРИИ ДЛЯ ИССЛЕДОВАНИЯ ПРОЦЕССОВ СВС

Предложена новая методика высокоскоростной яркостной пирометрии для исследований процессов СВ-синтеза, допускающая временнб разрешение порядка 1 мкс. Апробация методики показала, что высокое временнб разрешение позволяет выявить ранее не описанные детали тонкой структуры волн горения.

Самораспространяющийся высокотемпературный синтез (СВС) в гетерогенных конденсированных системах представляет собой метод получения целевых продуктов в процессе протекания экзотермической реакции (или, как правило, совокупности реакций), распространяющейся по пространству реакционной системы дисперсных компонентов в волновом либо объемном режиме [1]. Сложный характер СВС как физико-химического явления обусловил развитие комплекса экспериментальных и теоретических методов, направленных на изучение условий и режимов протекания реакций, установление закономерностей и механизма формирования продуктов различных классов. Исторически доминирует при рассмотрении СВС-процессов феноменологический подход, при котором главный акцент делался прежде всего на изучении методически достаточной совокупности термокинетических параметров протекания реакций, основной для построения формальных моделей горения.

Известно, что в реальных дисперсных системах законы взаимодействия отличаются от классической гомогенной кинетики. Это отличие обусловлено гетерогенностью среды, так как высокие температуры плавления исходных

© Д. А. Гарколь, П. Ю. Гуляев, В. В. Евстигнеев, А. Б. Мухачев, 1993.